

УДАР ПО ТВЕРДОМУ ТЕЛУ  
ВЕРЕТЕНООБРАЗНОЙ ФОРМЫ, ПОГРУЖЕННОМУ  
В ЖИДКОСТЬ БЕСКОНЕЧНОЙ ГЛУБИНЫ

УДК 532.5

М. В. Норкин

Ростовский государственный университет, 344104 Ростов-на-Дону

Рассматривается задача о вертикальном ударе по твердому телу веретенообразной формы, полученному вращением дуги окружности вокруг прямой, проходящей через ее крайние точки, наполовину погруженному в идеальную несжимаемую жидкость бесконечной глубины. После продолжения потенциала нечетным образом через свободную поверхность задача разбивается на поступательную и вращательную. Потенциал движения жидкости, вызванного поступательным движением тела, найден в квадратурах в биполярных координатах. В случае вращения осуществлено сведение задачи к решению интегрального уравнения Фредгольма второго рода. Изучена зависимость присоединенных массы жидкости и момента инерции от параметров задачи  $a$  и  $b$  ( $a$  — радиус дуги вращения,  $b$  — координата центра дуги). Для шара ( $b = 0$ ) результат совпадает с классическим [1], при  $b = a$  получено согласование с предельным случаем вырожденного тора [2]. Выведено условие безотрывности удара. Задача обтекания данных поверхностей рассматривалась в [3].

**1. Постановка задачи.** Потенциал скоростей  $\Phi$ , приобретенных частицами жидкости в момент, непосредственно следующий после удара, удовлетворяет уравнению Лапласа во всем объеме, занятом жидкостью [4]:  $\Delta\Phi = 0$ , а также граничным условиям на смоченной поверхности тела и свободной поверхности жидкости:

$$\frac{\partial\Phi}{\partial n} = v_0 n_z + \omega (z n_x - x n_z), \quad \Phi = 0.$$

Здесь  $v_0, \omega$  — поступательная и угловая скорости тела;  $n_x, n_z$  — проекции вектора внешней нормали на оси декартовых координат  $x$  и  $z$ . На бесконечности  $\Phi \rightarrow 0$ . Продолжая потенциал  $\Phi$  нечетным образом через свободную поверхность, приходим к внешней задаче Неймана. Функция  $\Phi$  имеет вид

$$\Phi = v_0 \Phi_1 + \omega \Phi_2, \quad (1.1)$$

где  $\Phi_1$  — потенциал движения жидкости, вызванного поступательным движением тела вдоль оси симметрии  $z$  с единичной скоростью;  $\Phi_2$  соответствует вращению тела вокруг оси  $y$  с постоянной угловой скоростью, равной единице. Присоединенные масса жидкости  $m$  и момент инерции  $J$  определяются по формулам

$$m = -\rho \int \int_S \Phi_1 \frac{\partial \Phi_1}{\partial n} ds, \quad J = -\rho \int \int_S \Phi_2 \frac{\partial \Phi_2}{\partial n} ds \quad (1.2)$$

( $S$  — смоченная поверхность тела,  $\rho$  — плотность жидкости).

**2. Поступательное движение.** Во вращательно-симметричном случае можно ввести функцию тока  $\psi$ :

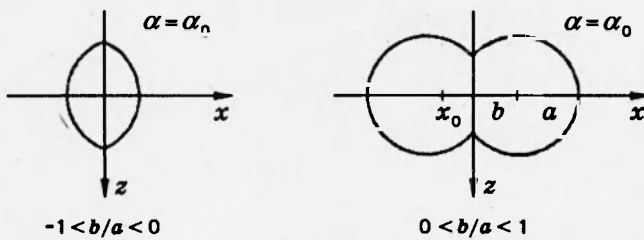


Рис. 1

$$\frac{\partial \Phi_1}{\partial r} = \frac{1}{r} \frac{\partial \psi}{\partial z}, \quad \frac{\partial \Phi_1}{\partial z} = -\frac{1}{r} \frac{\partial \psi}{\partial r}.$$

Для нахождения  $\psi$  используем биполярные координаты  $\alpha, \beta, \varphi$  [5, с. 281], которые связаны с цилиндрическими  $r, z$  соотношениями

$$r = \frac{c \sin \alpha}{\operatorname{ch} \beta - \cos \alpha}, \quad z = \frac{c \operatorname{sh} \beta}{\operatorname{ch} \beta - \cos \alpha} \quad (2.1)$$

( $c$  — масштабный множитель,  $0 \leq \alpha < \pi$ ,  $-\infty < \beta < \infty$ ,  $-\pi < \varphi \leq \pi$ ). Рассматриваемая система координат пригодна для решения краевых задач теории потенциала для области, ограниченной веретенообразной поверхностью вращения  $\alpha = \alpha_0$  (рис. 1), а также для области, расположенной между двумя непересекающимися сферами. Через  $\varphi$  обозначена угловая координата,  $c$  и  $\alpha_0$  выражаются через параметры задачи  $a$  и  $b$ :  $c = a \sin \alpha_0$ ,  $b = a \cos \alpha_0$ . Для функции тока  $\psi = \psi(\alpha, \beta)$  имеем следующую краевую задачу в биполярных координатах:

$$\begin{aligned} \frac{\partial}{\partial \alpha} \left( \frac{1}{r} \frac{\partial \psi}{\partial \alpha} \right) + \frac{\partial}{\partial \beta} \left( \frac{1}{r} \frac{\partial \psi}{\partial \beta} \right) &= 0, \\ \psi(\alpha_0, \beta) = -\frac{r^2}{2} &= -\frac{c^2 \sin^2 \alpha_0}{2(\operatorname{ch} \beta - \cos \alpha_0)^2}, \quad \psi|_{\infty} = 0. \end{aligned} \quad (2.2)$$

Внешности веретенообразной поверхности соответствует область  $0 \leq \alpha < \alpha_0$ ,  $-\infty < \beta < \infty$ ,  $-\pi < \varphi \leq \pi$ . Метод разделения переменных для задачи (2.2) приводит к решениям вида

$$\psi(\alpha, \beta) = \frac{\sin \alpha}{\sqrt{2 \operatorname{ch} \beta - 2 \cos \alpha}} \int_0^\infty g(\tau) \cos \beta \tau P_{-1/2+i\tau}^1(\cos \alpha) d\tau$$

( $P_{-1/2+i\tau}^1(\cos \alpha)$  — присоединенная функция Лежандра с комплексным значком,  $g(\tau)$  — произвольная функция). Условие на бесконечности, где  $\alpha, \beta \rightarrow 0$ , выполняется, так как введенная функция Лежандра обращается в нуль при  $\alpha = 0$ , а множитель перед интегралом есть функция ограниченная. Удовлетворяя граничному условию, приходим к разложению заданной функции в косинус-интеграл Фурье

$$\int_0^\infty g(\tau) \cos \beta \tau P_{-1/2+i\tau}^1(\cos \alpha_0) d\tau = -\frac{2 c^2 \sin \alpha_0}{(2 \operatorname{ch} \beta - 2 \cos \alpha_0)^{3/2}}.$$

Отсюда после преобразования Фурье находим неизвестную функцию

$$g(\tau) = -2 c^2 P_{-1/2+i\tau}^1(-\cos \alpha_0) / (P_{-1/2+i\tau}^1(\cos \alpha_0) \operatorname{ch} \pi \tau).$$

Здесь были использованы интегральное представление и формула дифференцирования для функции Лежандра [5, с. 239; 6, с. 263]:

$$P_{-1/2+i\tau}(-\cos \alpha_0) = \frac{2 \operatorname{ch} \pi \tau}{\pi} \int_0^\infty \frac{\cos \beta \tau d\beta}{\sqrt{2 \operatorname{ch} \beta - 2 \cos \alpha_0}}; \quad (2.3)$$

$$\frac{d}{d\alpha_0} P_{-1/2+i\tau}(-\cos \alpha_0) = -P_{-1/2+i\tau}^1(-\cos \alpha_0). \quad (2.4)$$

Запишем окончательное выражение для функции тока  $\psi$ :

$$\psi(\alpha, \beta) = -\frac{2 c^2 \sin \alpha}{\sqrt{2 \operatorname{ch} \beta - 2 \cos \alpha}} \int_0^\infty \frac{\cos \beta \tau}{\operatorname{ch} \pi \tau} \frac{P_{-1/2+i\tau}^1(-\cos \alpha_0)}{P_{-1/2+i\tau}^1(\cos \alpha_0)} P_{-1/2+i\tau}^1(\cos \alpha) d\tau.$$

(Аналогичное выражение получено в задаче обтекания [3], где затем определяется присоединенная масса жидкости.) С учетом условия на свободной поверхности потенциал находится однозначно:

$$\Phi_1(\alpha, \beta) = \int_0^\beta \frac{1}{r} \frac{\partial \psi}{\partial \alpha} d\beta. \quad (2.5)$$

Известна следующая формула дифференцирования [7]:

$$h(\alpha, \tau) = \frac{d}{d\alpha} P_{-1/2+i\tau}^1(\cos \alpha) = -\operatorname{ctg} \alpha P_{-1/2+i\tau}^1(\cos \alpha) + (\tau^2 + 1/4) P_{-1/2+i\tau}^1(\cos \alpha). \quad (2.6)$$

Пользуясь этой формулой, получим для подынтегрального выражения (2.5) равенство

$$\begin{aligned} \frac{1}{r} \frac{\partial \psi}{\partial \alpha} = & -c \left[ -\frac{\sin \alpha}{\sqrt{2 \operatorname{ch} \beta - 2 \cos \alpha}} \int_0^\infty \frac{\cos \beta \tau}{\operatorname{ch} \pi \tau} \frac{P_{-1/2+i\tau}^1(-\cos \alpha_0)}{P_{-1/2+i\tau}^1(\cos \alpha_0)} P_{-1/2+i\tau}^1(\cos \alpha) d\tau + \right. \\ & \left. + \sqrt{2 \operatorname{ch} \beta - 2 \cos \alpha} \int_0^\infty \frac{(\tau^2 + 1/4)}{\operatorname{ch} \pi \tau} \cos \beta \tau \frac{P_{-1/2+i\tau}^1(-\cos \alpha_0)}{P_{-1/2+i\tau}^1(\cos \alpha_0)} P_{-1/2+i\tau}^1(\cos \alpha) d\tau \right]. \end{aligned} \quad (2.7)$$

Найдем присоединенную массу жидкости. Переходя в интегrale для  $m$  (1.2) к биполярным координатам (2.1), используя формулы (2.3)–(2.5), (2.7) и вычисляя интегралы от элементарных функций, окончательно получим  $m = \rho a^3 \lambda$ , где функция  $\lambda = \lambda(b/a)$  имеет вид

$$\begin{aligned} \lambda = & -\frac{\pi}{24} [15 \sin \alpha_0 - 11 \sin^3 \alpha_0 + (\pi - \alpha_0) \cos \alpha_0 (12 + 3 \cos 2\alpha_0)] + \\ & + 2\pi^2 \sin^4 \alpha_0 \int_0^\infty \frac{(\tau^2 + 1/4)}{\operatorname{ch}^2 \pi \tau} \frac{[P_{-1/2+i\tau}^1(-\cos \alpha_0)]^2}{P_{-1/2+i\tau}^1(\cos \alpha_0)} P_{-1/2+i\tau}^1(\cos \alpha_0) d\tau, \quad \cos \alpha_0 = b/a. \end{aligned}$$

Для вычисления функций Лежандра была использована их связь с гипергеометрическим рядом, численные результаты сравнивались с таблицами, приведенными в [8, 9].

Изучена зависимость функции  $\lambda$  от характерного параметра задачи  $b/a$  (рис. 2), при  $b = 0$  получено совпадение с классическим результатом для шара:  $\lambda = \pi/3$  [1], при  $b = a$  результат согласуется с предельным случаем вырожденного тора:  $\lambda \approx 10,158$  [2]. Численные значения  $\lambda$  приводятся в таблице.

$b/a$	$\lambda$	$\nu$	$R$
-0,7	0,022	0,003	0,30
-0,5	0,112	0,009	0,21
-0,3	0,331	0,009	0,13
-0,1	0,745	0,002	0,04
0,1	1,426	0,004	0,04
0,3	2,456	0,067	0,12
0,5	3,919	0,288	0,19
0,7	5,914	0,827	0,27
0,8	7,145	1,282	0,30
0,9	8,553	1,903	0,33

**3. Вращение тела.** Рассмотрим задачу о вращении веретенообразной поверхности в идеальной жидкости. Уравнение Лапласа и граничное условие в биполярных координатах имеют вид

$$\frac{\partial}{\partial \alpha} \left( r \frac{\partial \Phi_2}{\partial \alpha} \right) + \frac{\partial}{\partial \beta} \left( r \frac{\partial \Phi_2}{\partial \beta} \right) + \frac{c}{\sin \alpha (\operatorname{ch} \beta - \cos \alpha)} \frac{\partial^2 \Phi_2}{\partial \varphi^2} = 0,$$

$$\frac{\partial \Phi_2}{\partial \alpha} \Big|_{\alpha=\alpha_0} = \cos \alpha_0 \frac{c^2 \cos \alpha_0 \operatorname{sh} \beta}{(\operatorname{ch} \beta - \cos \alpha_0)^2},$$

где использовано равенство

$$\frac{\partial \Phi_2}{\partial n} = - \frac{\operatorname{ch} \beta - \cos \alpha_0}{c} \frac{\partial \Phi_2}{\partial \alpha} \Big|_{\alpha=\alpha_0}.$$

Функцию  $\Phi_2$  определим как

$$\Phi_2(\alpha, \beta, \varphi) = \frac{4}{3} c^2 \operatorname{ctg} \alpha_0 \cos \varphi \sqrt{2 \operatorname{ch} \beta - 2 \cos \alpha} \int_0^\infty f(\tau) \sin \beta \tau P_{-1/2+i\tau}^1(\cos \alpha) d\tau. \quad (3.1)$$

Удовлетворяя граничному условию, с учетом (2.6) получим уравнение

$$\frac{\sin \alpha_0}{2 \operatorname{ch} \beta - 2 \cos \alpha_0} \int_0^\infty f(\tau) \sin \beta \tau P_{-1/2+i\tau}^1(\cos \alpha_0) d\tau +$$

$$+ \int_0^\infty f(\tau) \sin \beta \tau h(\alpha_0, \tau) d\tau = \frac{3 \sin \alpha_0 \operatorname{sh} \beta}{(2 \operatorname{ch} \beta - 2 \cos \alpha_0)^{5/2}}.$$

Применяя к последнему уравнению синус-преобразование Фурье, используя формулы (2.3), (2.4), а также значение интеграла [10]

$$\int_0^\infty \frac{\cos z \beta d\beta}{\operatorname{ch} \beta - \cos \alpha_0} = \frac{\pi}{\sin \alpha_0} \frac{\operatorname{sh}(\pi - \alpha_0) z}{\operatorname{sh} \pi z},$$

приходим к интегральному уравнению Фредгольма второго рода:

$$y(\tau) + \int_0^\infty y(s) r(s) [k(\tau - s) - k(\tau + s)] ds = \frac{\tau P_{-1/2+i\tau}^1(-\cos \alpha_0)}{\operatorname{ch} \pi \tau}, \quad (3.2)$$

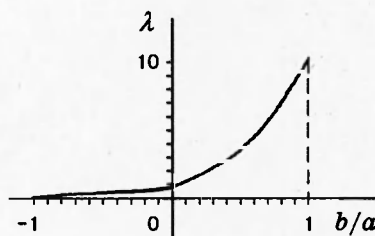


Рис. 2

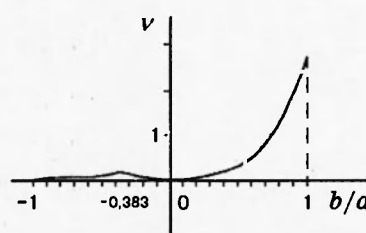


Рис. 3

$$y(s) = f(s) h(\alpha_0, s), \quad r(s) = \frac{P_{-1/2+is}^1(\cos \alpha_0)}{2 h(\alpha_0, s)}, \quad k(s) = \frac{\operatorname{sh}(\pi - \alpha_0)s}{\operatorname{sh} \pi s}.$$

Вычислим присоединенный момент инерции. Переходя в интеграле для  $J$  (1.2) к биполярным координатам (2.1), используя формулы (2.3), (2.4), (3.1), окончательно получим  $J = \rho a^5 \nu$ , где функция  $\nu = \nu(b/a)$  имеет вид

$$\nu = \frac{32\pi^2}{9} \sin^4 \alpha_0 \cos^2 \alpha_0 \int_0^\infty \frac{y(\tau) r(\tau) \tau P_{-1/2+i\tau}^1(-\cos \alpha_0)}{\operatorname{ch} \pi \tau} d\tau$$

( $y(\tau)$  есть решение интегрального уравнения (3.2)).

На рис. 3 показана зависимость функции  $\nu$  от характерного параметра задачи  $b/a$ . Функция  $\nu$  имеет две точки экстремума: локальный минимум  $b = 0$  и локальный максимум  $b/a \approx -0,383$ . В первом случае присоединенный момент инерции равен нулю — это хорошо известный результат [1], приближенное значение локального максимума 0,010. При  $b = a$  результат согласуется с предельным случаем вырожденного тора  $\nu \approx 2,728$ . Численные значения функции  $\nu$  приведены в таблице.

**4. Условие безотрывности удара.** Координата точки приложения импульса находится по формуле

$$x_0 = -J\omega/mv_0. \quad (4.1)$$

Условие безотрывности удара состоит в том, что импульсивное давление  $P_t = -\rho\Phi$  неотрицательно всюду на смоченной поверхности твердого тела. Представляется очевидным, что отрыв начинается в окрестности самой дальней от точки приложения импульса точке границы твердого тела  $x = a + b$ , что подтверждается численно для поверхностей  $0 < b/a < 1$  (см. рис. 1).

Таким образом, для указанных поверхностей условие безотрывности равносильно неотрицательности импульсивного давления в некоторой окрестности точки  $x = a + b$ , что, в свою очередь, равносильно неотрицательности производной от импульсивного давления по нормали к свободной поверхности в этой точке:

$$\left. \frac{dP_t}{d\beta} \right|_{\begin{subarray}{l} \beta=0 \\ \varphi=0 \end{subarray}} \geq 0. \quad (4.2)$$

Принимая во внимание формулы (1.1), (2.5), (2.7), (3.1) и вычисляя производную (4.2), получим

$$v_0 A - \omega a \cos \alpha_0 B \geq 0,$$

$$A = -\frac{\operatorname{ctg}^2 \frac{\alpha_0}{2}}{8 \sin \frac{\alpha_0}{2}} + \int_0^\infty \frac{(\tau^2 + 1/4)}{\operatorname{ch} \pi \tau} \frac{P_{-1/2+i\tau}^1(-\cos \alpha_0)}{P_{-1/2+i\tau}^1(\cos \alpha_0)} P_{-1/2+i\tau}^1(\cos \alpha_0) d\tau, \quad (4.3)$$

$$B = \frac{4}{3} \int_0^\infty \tau f(\tau) P_{-1/2+i\tau}^1(\cos \alpha_0) d\tau.$$

Для поверхностей  $-1 < b/a < 0$  ( $\pi/2 < \alpha_0 < \pi$ ) (см. рис. 1) предположение о точке отрыва оказывается неверным. Здесь отрыв начинается в окрестности самой ближней от точки приложения импульса точке границы твердого тела  $x = -a - b$ . Условие безотрывности в этом случае определяется по формуле (4.3), где функцию  $\cos \alpha_0$  следует взять по модулю.

Численно было установлено, что функции  $A$  и  $B$  неотрицательны. Из (4.1) и (4.3) получим необходимое и достаточное условие безотрывности удара в виде оценки  $|x_0| \leq aR$ , функция  $R = R(b/a)$  имеет вид

$$R = \frac{\nu}{\lambda} \frac{A}{|\cos \alpha_0| B}.$$

В таблице приведены численные значения функции  $R$ . При  $a = b$  результат согласуется с предельным случаем вырожденного тора:  $R \approx 0,36$ .

Автор выражает благодарность В. И. Юдовичу за внимание к работе.

## ЛИТЕРАТУРА

1. Биркгоф Г. Гидродинамика. М.: Изд-во иностр. лит., 1954.
2. Норкин М. В. Удар вырожденного тора о жидкость бесконечной глубины. М., 1994. Деп. в ВИНИТИ 14.03.94, № 593-В94.
3. Коковин Е. Т., Либин Э. Е. О потенциальном обтекании тела, образованного вращением дуги окружности // Аэрогазодинамика нестационарных процессов. Томск, 1992. С. 84–92.
4. Седов Л. И. Об ударе твердого тела, плавающего на поверхности несжимаемой жидкости // Тр. ЦАГИ. 1934. Вып. 187. С. 1–27.
5. Лебедев Н. Н. Специальные функции и их приложения. М.: Физматгиз, 1963.
6. Лебедев Н. Н., Скальская И. П., Уфлянд Я. С. Сборник задач по математической физике. М.: Гостехтеоретиздат, 1955.
7. Кампе де Ферье Ж., Кембелл Р., Петтьо Г., Фогель Т. Функции математической физики. М.: Физматгиз, 1963. С. 52–53.
8. Журина М. И., Кармазина Л. Н. Таблицы функций Лежандра  $P_{-1/2+i\tau}^1(x)$ . М.: ВЦ АН СССР, 1960.
9. Журина М. И., Кармазина Л. Н. Таблицы функций Лежандра  $P_{-1/2+i\tau}^1(x)$ . М.: ВЦ АН СССР, 1963.
10. Прудников А. П., Брычков Ю. А., Маричев О. И. Интегралы и ряды, элементарные функции. М.: Наука, 1981. С. 470–471.

Поступила в редакцию 4/I 1995 г.